

tafeln

Autor(en): **[s.n.]**

Objektyp: **Appendix**

Zeitschrift: **Eclogae Geologicae Helvetiae**

Band (Jahr): **61 (1968)**

Heft 2

PDF erstellt am: **20.09.2024**

Nutzungsbedingungen

Die ETH-Bibliothek ist Anbieterin der digitalisierten Zeitschriften. Sie besitzt keine Urheberrechte an den Inhalten der Zeitschriften. Die Rechte liegen in der Regel bei den Herausgebern.

Die auf der Plattform e-periodica veröffentlichten Dokumente stehen für nicht-kommerzielle Zwecke in Lehre und Forschung sowie für die private Nutzung frei zur Verfügung. Einzelne Dateien oder Ausdrucke aus diesem Angebot können zusammen mit diesen Nutzungsbedingungen und den korrekten Herkunftsbezeichnungen weitergegeben werden.

Das Veröffentlichen von Bildern in Print- und Online-Publikationen ist nur mit vorheriger Genehmigung der Rechteinhaber erlaubt. Die systematische Speicherung von Teilen des elektronischen Angebots auf anderen Servern bedarf ebenfalls des schriftlichen Einverständnisses der Rechteinhaber.

Haftungsausschluss

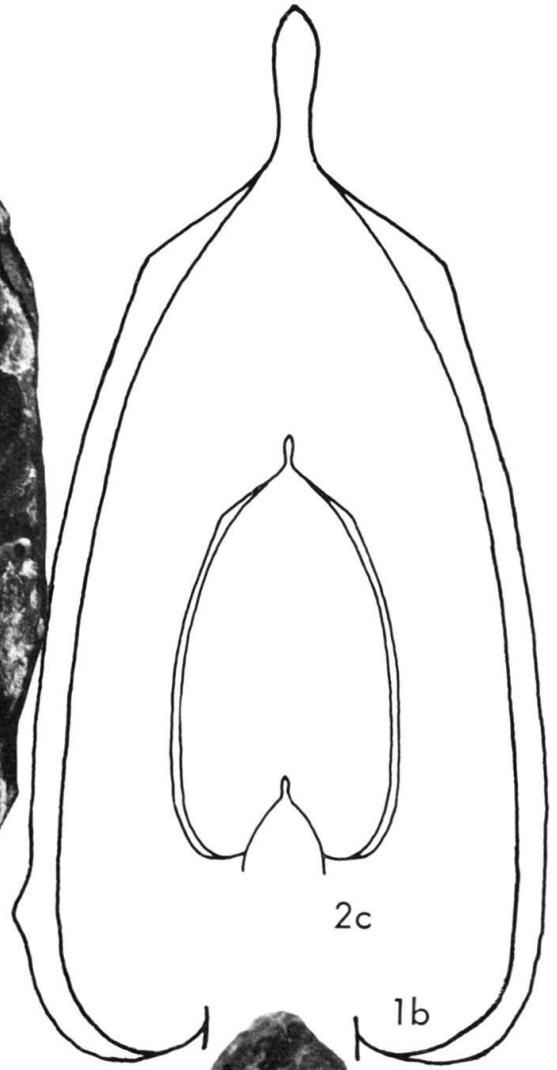
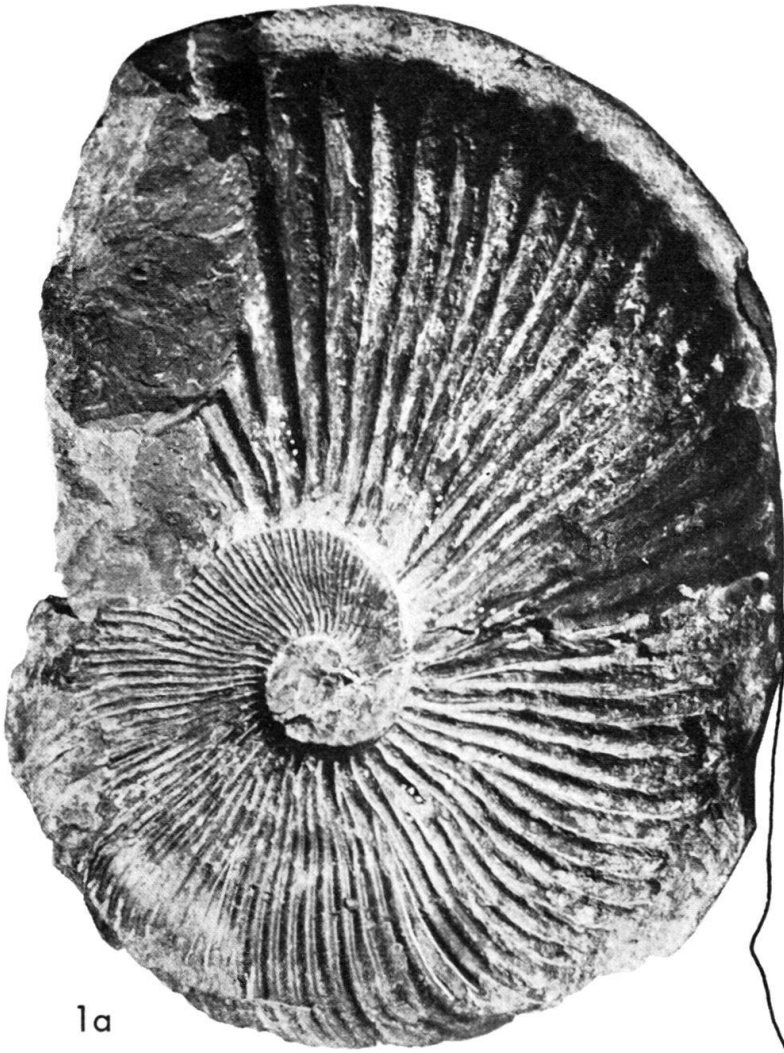
Alle Angaben erfolgen ohne Gewähr für Vollständigkeit oder Richtigkeit. Es wird keine Haftung übernommen für Schäden durch die Verwendung von Informationen aus diesem Online-Angebot oder durch das Fehlen von Informationen. Dies gilt auch für Inhalte Dritter, die über dieses Angebot zugänglich sind.

Tafel I

- Fig. 1 a, b *Oxytropidoceras (Venezoliceras) multicoatum* n. sp., Holotypus Nr. J 17817, La Aguada, 1 a auf $\frac{1}{2}$ verkleinert, 1 b nat. Gr., p. 631.
- Fig. 2 a–c *O. (Venezoliceras) multicoatum* n. sp., Paratypus Nr. J 17818, innerer Umgang, La Aguada, nat. Gr., p. 632.

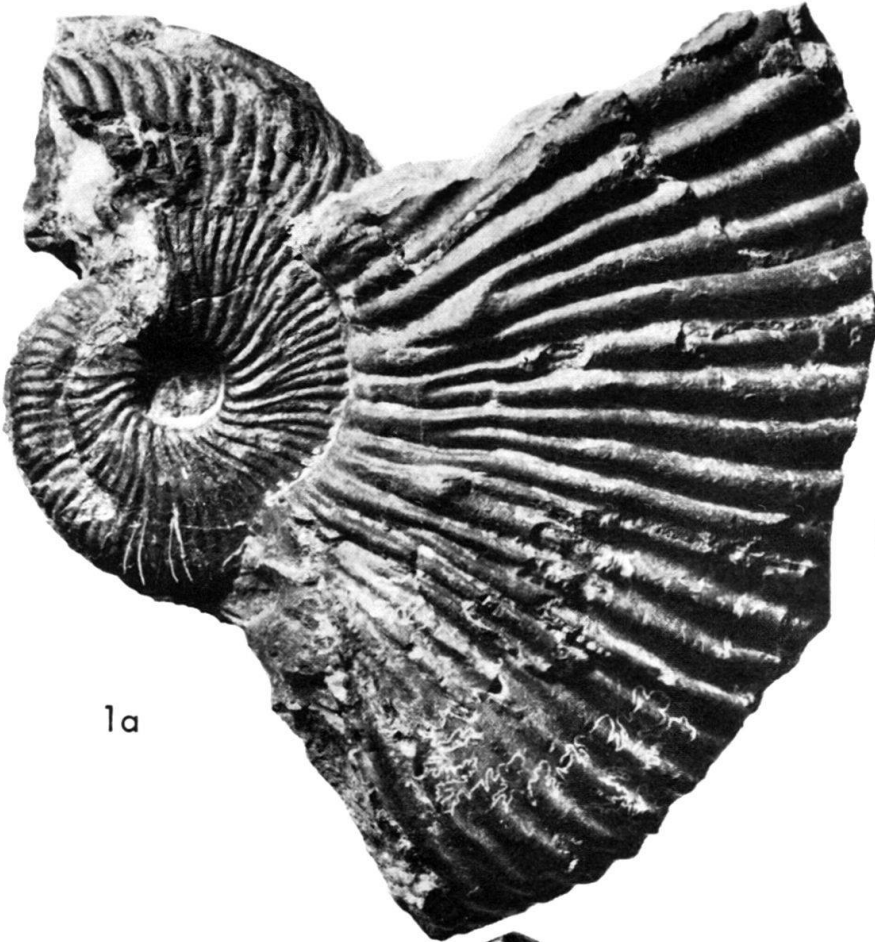
Alle hier abgebildeten Exemplare der Untergattung *Venezoliceras* stammen aus der obersten Lage des La Puya Member.

Das Ende des Phragmokons wurde mit einem kleinen Strich angedeutet.



Tafel II

- Fig. 1 a, b *O. (Venezolicerias) intermedium* n. sp., Paratypus Nr. J 17824, innerer und äusserer Umgang, La Aguada, nat. Gr., p. 635.
- Fig. 2a, b *O. (Venezolicerias) intermedium* n. sp., Holotypus Nr. J 17819, La Aguada, 2a auf $\frac{1}{2}$ verkleinert, 2b nat. Gr., p. 634.
- Fig. 3 *O. (Venezolicerias) intermedium* n. sp., Paratypus Nr. J 17823, Cerro Gordo, auf $\frac{1}{2}$ verkleinert, p. 636.



Tafel III

- Fig. 1 *O. (Venezoliceras) intermedium* n. sp., Paratypus Nr. J 17853, innerer Umgang, La Aguada, nat. Gr., p. 635.
- Fig. 2 *O. (Venezoliceras) karsteni* STIELER, Nr. J 17852, innerer Umgang, La Aguada, nat. Gr., p. 639.
- Fig. 3 a, b *O. (Venezoliceras) karsteni* STIELER, Nr. J 17830, La Aguada, nat. Gr. Der durch zwei Pfeile begrenzte Abschnitt entspricht etwa dem Holotypus (Textfig. 6), p. 639.



1



2



3a



3b

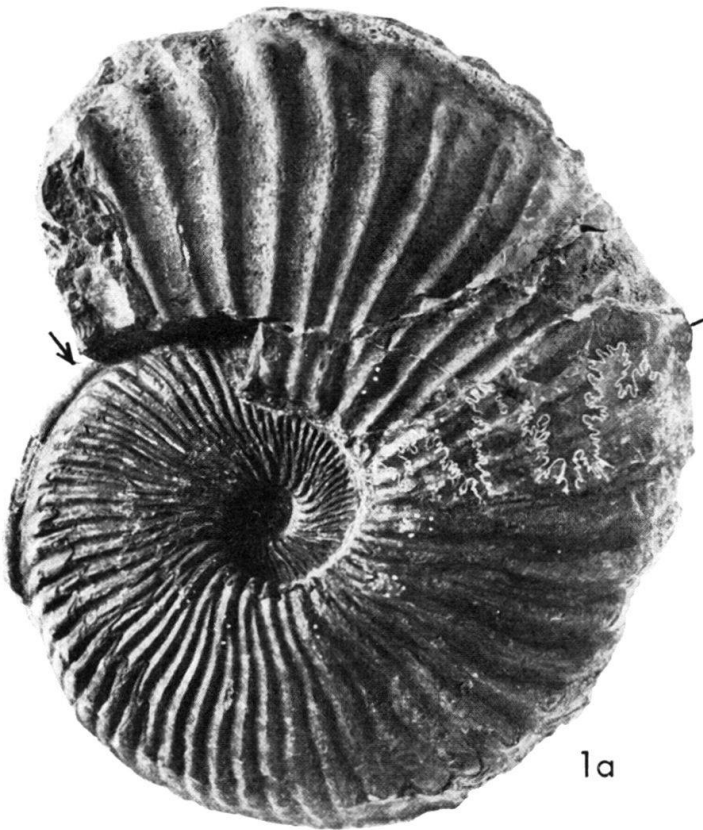
Tafel IV

Fig. 1 a, b

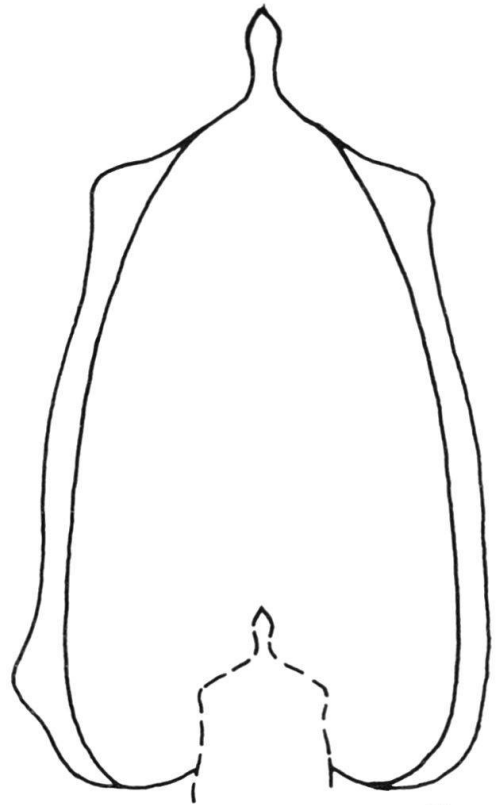
O. (Venezoliceras) karsteni STIELER, Nr. J 17827, La Aguada, 1 a auf $\frac{1}{2}$ verkleinert, 1 b nat. Gr., p. 638.

Fig. 2 a, b

O. (Venezoliceras) commune n. sp., Holotypus Nr. J 17832, Cerro Gordo, 2 a auf $\frac{1}{2}$ verkleinert, 2 b nat. Gr., p. 639.



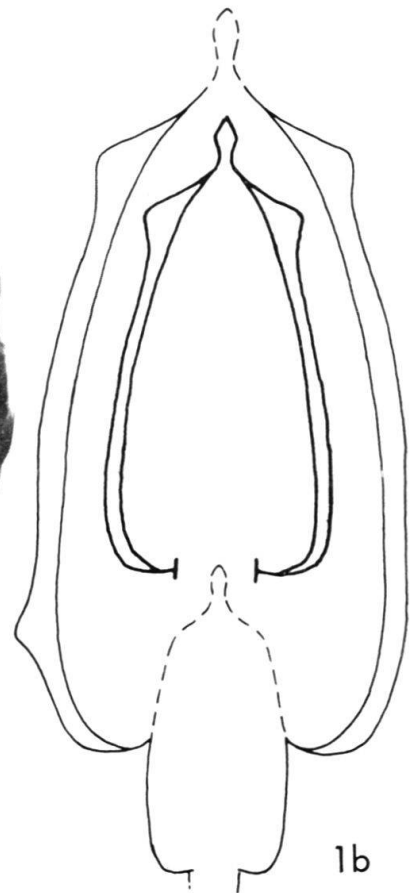
1a



2b



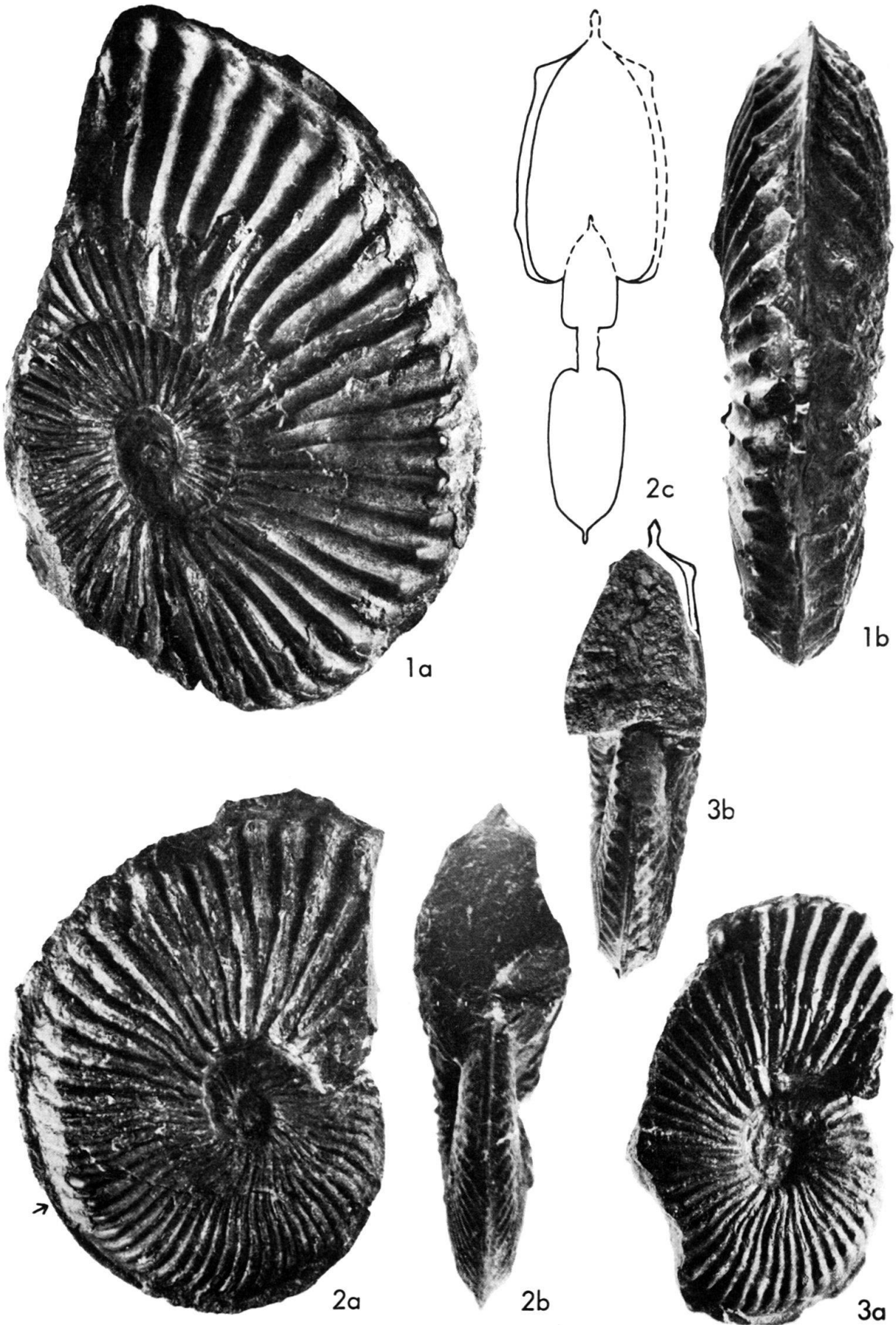
2a



1b

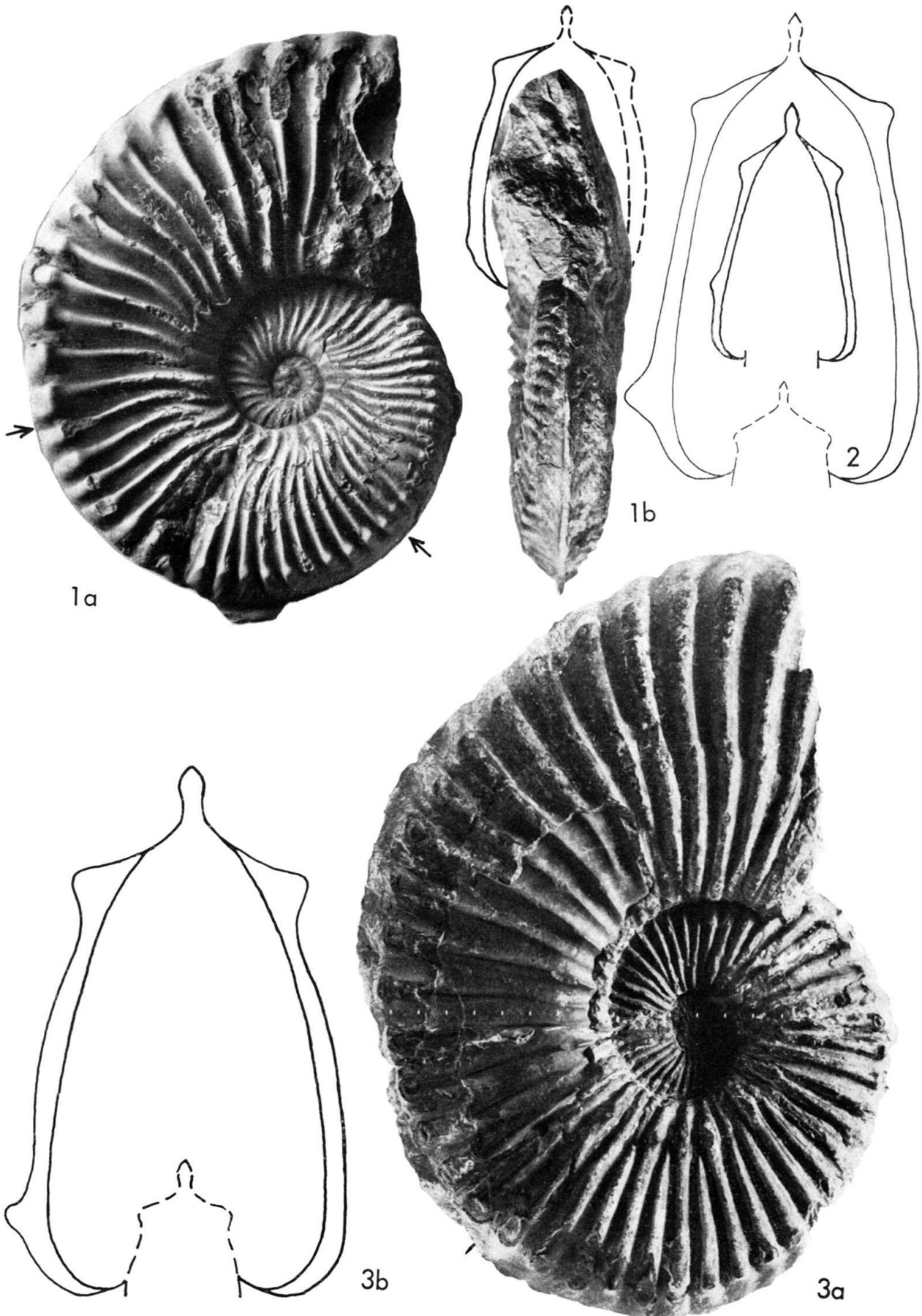
Tafel V

- Fig. 1 a, b *O. (Venezoliceras) commune* n. sp., Paratypus Nr. J 17835, La Aguada, auf $\frac{1}{2}$ verkleinert, p. 640.
- Fig. 2 a–c *O. (Venezoliceras) cf. commune* n. sp., abnorme Form Nr. J 17833, La Aguada, nat. Gr., p. 640.
- Fig. 3 a, b *O. (Venezoliceras) commune* n. sp., Paratypus Nr. J 17850, innerer Umgang, La Aguada, nat. Gr., p. 640.



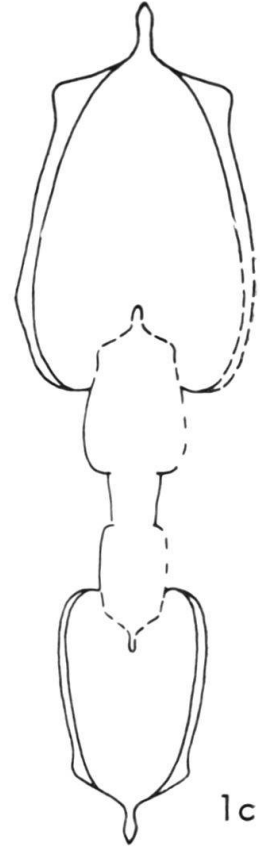
Tafel VI

- Fig. 1a, b *O. (Venezoliceras) cf. commune* n. sp., abnorme Form Nr. J 17834, La Aguada, nat. Gr., p. 641.
- Fig. 2 *O. (Venezoliceras) commune aff. pulchrum* n. ssp., Nr. J 17849, Exemplar mit flachen Flanken, La Aguada, nat. Gr., p. 642.
- Fig. 3a, b *O. (Venezoliceras) commune pulchrum* n. ssp., Holotypus Nr. J 17839, La Leona, auf $\frac{1}{2}$ verkleinert, p. 641.



Tafel VII

- Fig. 1 a–c *O. (Venezoliceras) commune pulchrum* n. ssp., Paratypus Nr. J 17841, Häuser Vano, nat. Gr., p. 642.
- Fig. 2 *O. (Venezoliceras) commune* aff. *pulchrum* n. ssp., Nr. J 17849, Exemplar mit flachen Flanken, La Aguada, (mit Ammoniumchlorid bestäubt), nat. Gr., p. 642.

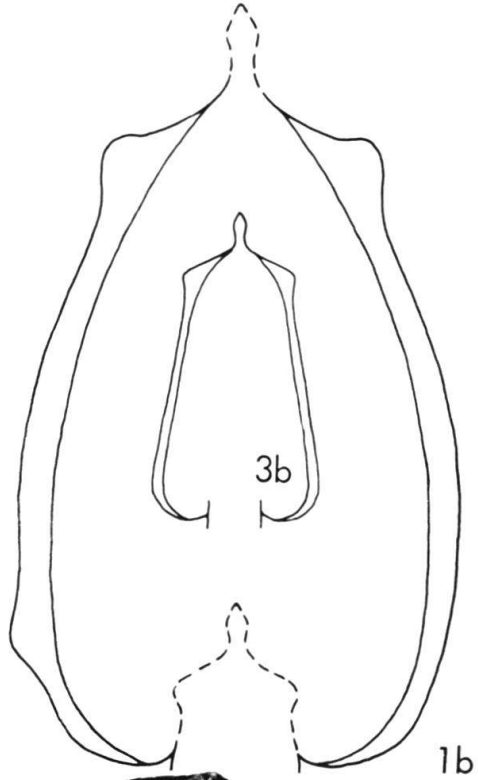


Tafel VIII

- Fig. 1 a, b *O. (Venezoliceras) bituberculatum* COLLIGNON, Nr. J 17842, Cerro Gordo, 1 a auf $\frac{1}{2}$ verkleinert, 1 b nat. Gr., p. 643.
- Fig. 2 a–c *O. (Venezoliceras) venezolanum* STIELER, Neotypus Nr. J 17844, La Aguada, nat. Gr. p. 644.
- Fig. 3 a, b *O. (Venezoliceras) commune pulchrum* n. ssp., Paratypus Nr. J 17845, innerer Umgang, La Aguada, nat. Gr., p. 642.



1a



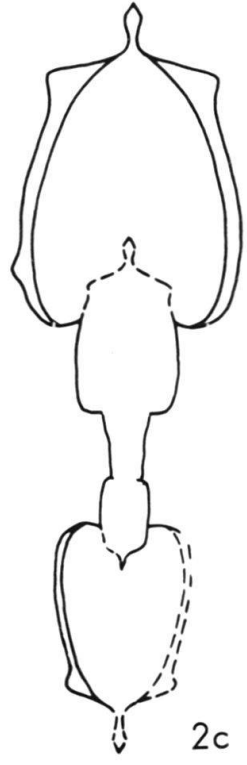
3a



2a



2b



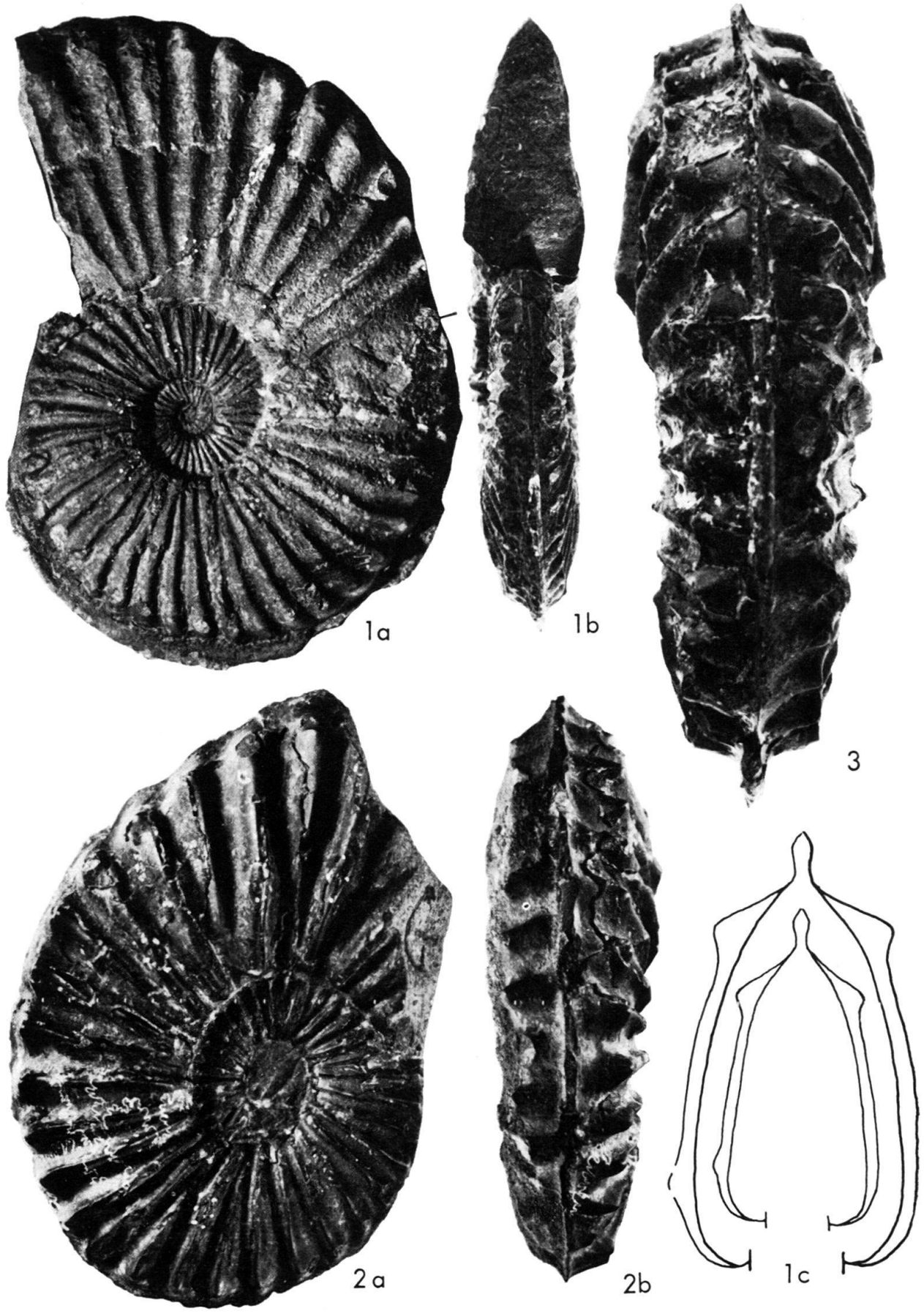
2c

3b

1b

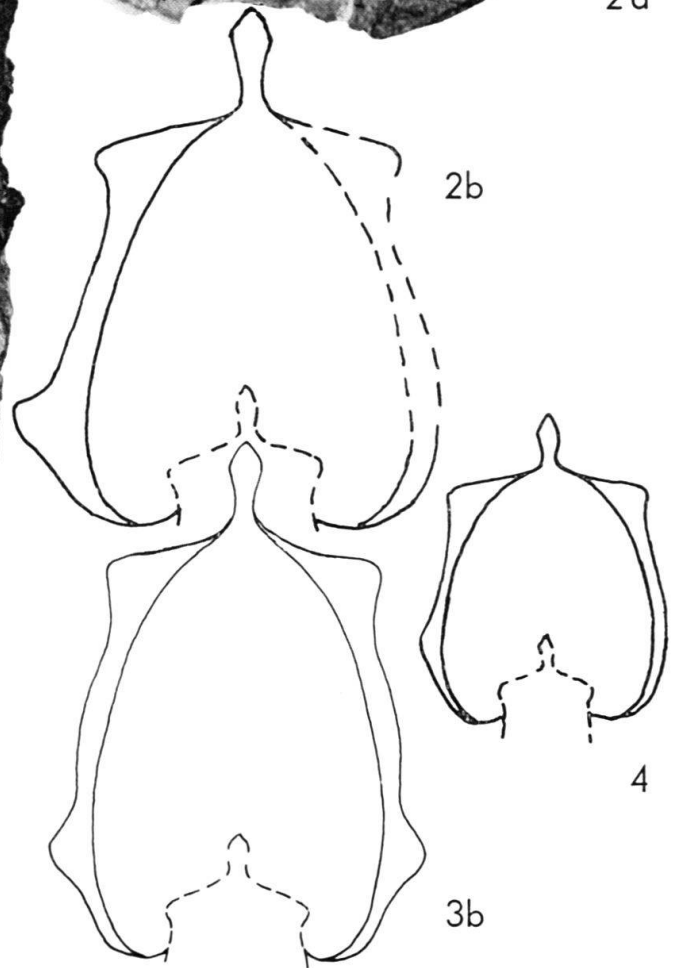
Tafel IX

- Fig. 1 a–c *O. (Venezoliceras) commune tenue* n. ssp., Holotypus Nr. J 17855, Cerro Gordo, 1 a, b auf $\frac{1}{2}$ verkleinert, 1 c nat. Gr., p. 642.
- Fig. 2 a, b *O. (Venezoliceras) madagascariense* (COLLIGNON), Nr. J 17847, Cerro Gordo, nat. Gr., p. 646.
- Fig. 3 *O. (Venezoliceras) madagascariense* (COLLIGNON), Nr. J 17848, La Aguada, um $\frac{1}{3}$ verkleinert, p. 646.



Tafel X

- Fig. 1 *O. (Venezoliceras) cf. madagascariense* (COLLIGNON), Nr. J 17857, Cerro Gordo, auf $\frac{1}{2}$ verkleinert, p. 647.
- Fig. 2a, b *O. (Venezoliceras) robustum* n. sp., Holotypus Nr. J 17856, La Aguada, 2a auf $\frac{1}{2}$ verkleinert, 2b nat. Gr., p. 647.
- Fig. 3a, b *O. (Venezoliceras) madagascariense* (COLLIGNON), Nr. J 17848, La Aguada, 3a um $\frac{1}{3}$ verkleinert, 3b nat. Gr., p. 646.
- Fig. 4 *O. (Venezoliceras) madagascariense* (COLLIGNON), Nr. J 17847, Cerro Gordo, nat. Gr., p. 646.



Tafel XI

- Fig. 1 a–c *O. (Venezoliceras)* sp., Nr. J 17859, La Aguada, nat. Gr., p. 648.
- Fig. 2 a, b *O. (Venezoliceras) clavicostatum* n. sp., Holotypus Nr. J 17860, La Aguada, 2a auf $\frac{1}{2}$ verkleinert, 2b nat. Gr., p. 648.
- Fig. 3 a–c *O. (Venezoliceras) clavicostatum* n. sp., Paratypus Nr. J 17869, La Aguada, 3a innerer Umgang ohne Lateralknoten, 3b dasselbe Exemplar Jugendstadium, 3c Windungsquerschnitt, alle nat. Gr., p. 649.



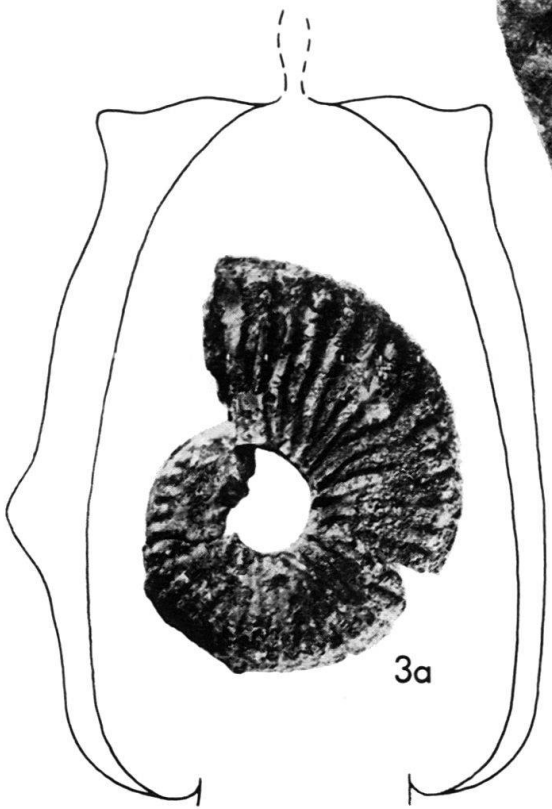
1a



1b



2a

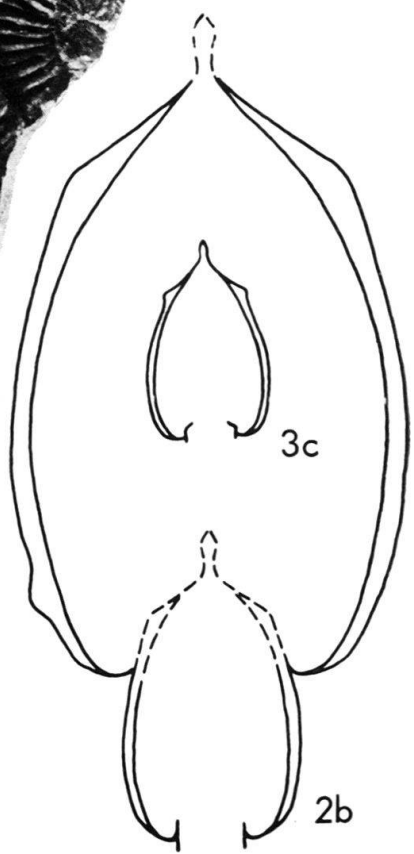


3a

1c



3b

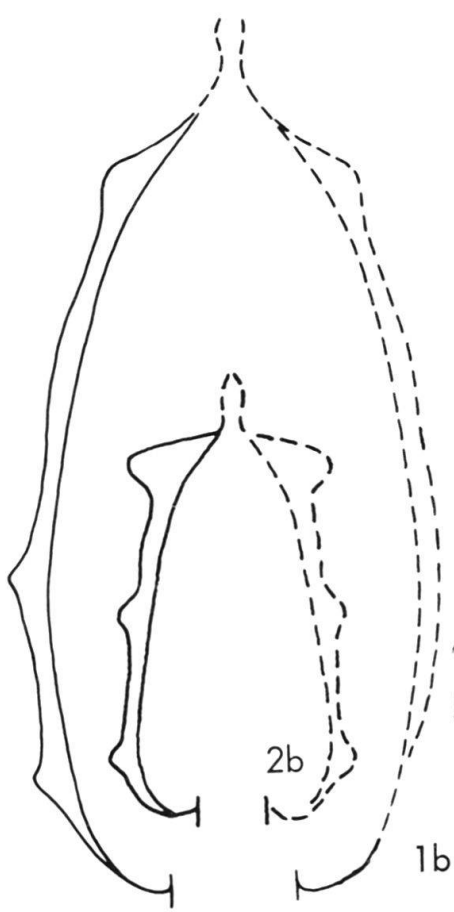


3c

2b

Tafel XII

- Fig. 1 a, b *Oxytropidoceras (Laraiceras) laraense* n. sp., Holotypus Nr. J 17861, Cerro Gordo, La Luna Formation (Schichten 2), 1 a um $\frac{1}{3}$ verkleinert, 1 b nat. Gr., p. 650.
- Fig. 2 a b *O. (Laraiceras) nodosum* n. sp., Paratypus Nr. J 17865, Cerro Gordo, La Luna Formation (Schichten 2), nat. Gr., p. 652.
- Fig. 3 *O. (Laraiceras)* sp., Nr. J 17863, Cerro Gordo, La Luna Formation (Schichten 2), nat. Gr., p. 652.



1a



2a



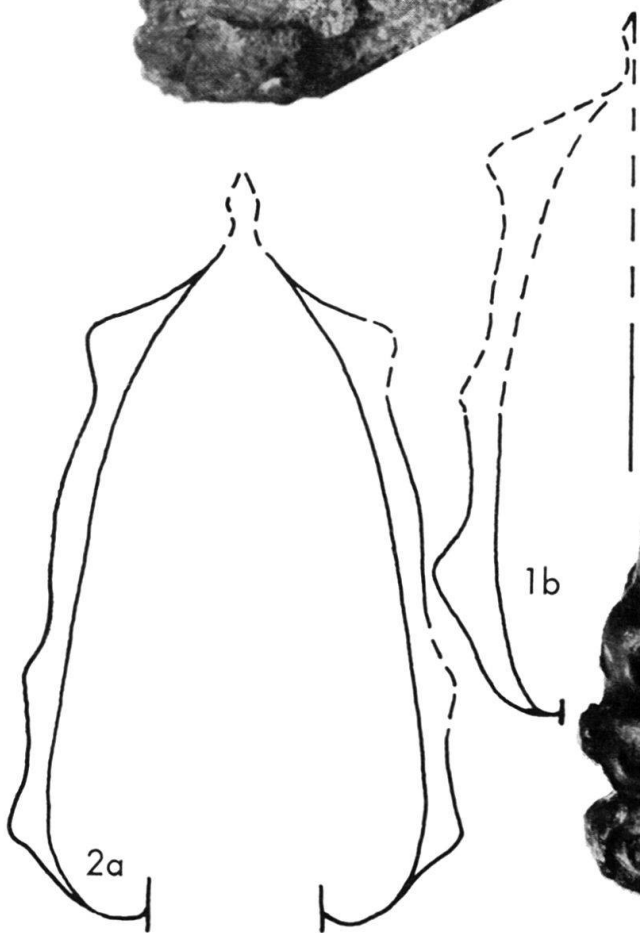
3

Tafel XIII

- Fig. 1 a, b *O. (Laraiceras) nodosum* n. sp., Holotypus Nr. J 17862, Cerro Gordo, La Luna Formation (Schichten 2), nat. Gr., p. 651.
- Fig. 2 a, b *O. (Laraiceras)* sp., Nr. J 17864, La Aguada, La Luna Formation (Schichten 2), nat. Gr., p. 652.



1a



2a



1b



2b

